

УДК 535.8:666.I89.2

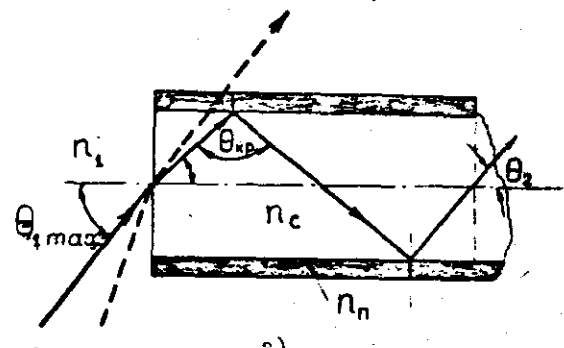
ПРИМЕНЕНИЕ ВОЛОКОННОЙ ОПТИКИ
В ФУНКЦИОНАЛЬНЫХ ЭЛЕКТРОННЫХ ЦЕЛЯХ

Х.И. Гаприндашвили, С.В. Свечников

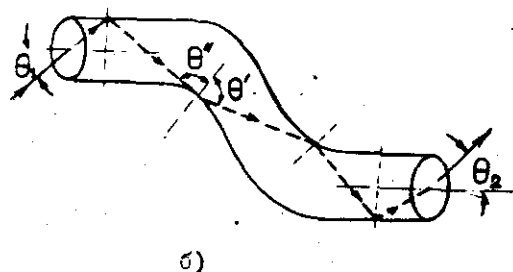
Волоконная оптика представляет собой широкий класс явлений, обусловленных прохождением света через оптически прозрачное волокно в результате многократного полного внутреннего отражения от границы раздела двух сред, различающихся коэффициентами преломления. В отличие от геометрической линзовой оптики, в которой оптическая среда преобразует изображение, в волоконной оптике оптическая среда участвует лишь в его переносе, представляя собой волновод (оптическую линию передачи), входное и выходное сечения которого линейно связаны с изменением масштаба передаваемого изображения. Это одно из основных свойств волоконной оптики, широко реализуемое в цепях функциональной электроники.

Сказанное поясняется рис. I, на котором схематически показано прохождение света через цилиндрическое (а), изогнутое (б) и конические волокна, представляющие собой основные структурные элементы волоконной оптики. вне зависимости от формы световод состоит из сердечника и отражающего покрытия, коэффициент преломления которого n_2 меньше коэффициента преломления сердечника.

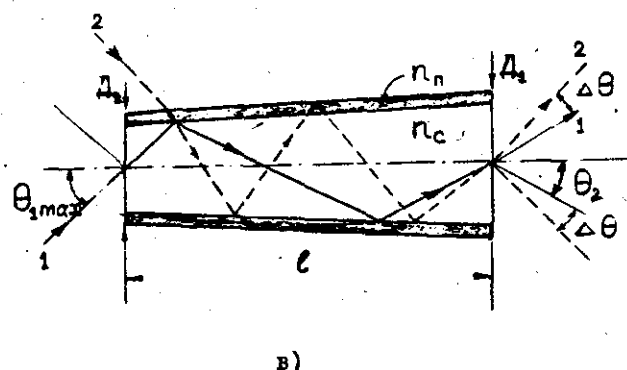
Входная и выходная угловые апертуры световода зависят от



a)



б)



в)

Рис. I. Прохождение света через стекловолокно различной формы:
а - цилиндрической; б - изогнутой; в - конической.

коэффициентов преломления сердечника, покрытия и сред, из которых свет входит в световод (n_1) и в которую он выходит (n_2), а также от соотношения входного и выходного сечений волокна. Для цилиндрического волокна в соответствии с обозначениями рис. I для меридиального луча

$$\theta_{1\max} = \sin^{-1} \frac{\sqrt{n_c^2 - n_n^2}}{n_1}, \quad (1)$$

а выходная апертура равна входной.

Соотношение (1) в первом приближении оказывается справедливым и для изогнутого волокна при углах изгиба до 90° , если радиус изгиба превышает некоторое критическое значение. Для изогнутого волокна выходная апертура не равна входной из-за влияния косых лучей, обусловленных изменением вдоль световода направления и высоты падения лучей вследствие переменного отношения диаметра волокна к длине его участка и радиуса изгиба к диаметру волокна.

В каноническом волокне входная угловая апертура зависит от того, рассматривается ли рассеивающий или фокусирующий световоды. Для рассеивающего световода остается справедливо соотношение (1). Для фокусирующего световода угол падения луча по мере его распространения по волокну возрастает до критического, что делает зависимой входную апертуру от отношения диаметров входного и выходного сечений:

$$\theta_{1\max} = \sin^{-1} \frac{D_2}{D_1} \frac{\sqrt{n_c^2 - n_n^2}}{n_1}. \quad (2)$$

От диаметров D_2 , D_1 зависит отношение

$$\frac{\sin \theta_1}{\sin \theta_2} = \frac{D_2}{D_1}, \quad (3)$$

где θ_1 , θ_2 - угол входа и выхода луча конического световода, соответственно. Для рассеивающего волокна $D_2 < D_1$, и световод ведет себя, как коллимирующее устройство; для фокусирующего, наоборот, $D_2 > D_1$, и выходной луч оказывается несколько деколлимирован.

Приведенные выше соотношения являются основными при разработке стекловолоконных устройств и систем. Они справедливы не только по отношению к отдельному волокну, но и в определенной мере и по отношению к многоэлементным стекловолоконным системам, насчитывающим 10^5 - 10^8 отдельных световодов. При этом важ-

ной характеристикой оптических линий передачи в отличие от линзовой оптики является большая их светосила, определяемая числовой апертурой, близкой к единице. Для коэффициентов преломления сердечника и покрытия, равных соответственно 1,85 и 1,48, она составляет 1,1, что определяет $\theta_{1max} \gg 90^\circ$. Это в 6-8 раз превышает числовую апертуру линзовой оптики ($\theta_{1max} \ll II-15^\circ$).

Материалами для световодов служат различные стекла: неорганические и органические, некоторые характеристики которых приведены в табл. I.

Стеклянные световоды могут быть изготовлены практически любой длины и различных сечений, минимальные размеры которых составляют доли мкм. Максимальная длина световода ограничена ослаблением светового потока в нем, которое в первом приближении соответствует экспоненциальному затуханию

$$B_x = B_0 e^{-\kappa l_3}, \quad (4)$$

где B_0 , B_x - интенсивности излучения на входе световода и в точке, удаленной от него на расстояние x , соответственно; κ - коэффициент линейного ослабления; l_3 - эффективная длина пути луча, зависящая от угла падения, длины волны, показателя преломления и формы волокна. При этом пропускание стекловолокна оценивается отношением

$$\chi(\theta) = \frac{B_x}{B_0} = e^{-\kappa l_3(\theta)}. \quad (5)$$

Если к тому же $\kappa l_3 \ll 1$, то в первом приближении

$$\chi(\theta)_{\lambda, n_0, n=const} \approx 1 - \kappa l_3(\theta),$$

где κl_3 - оптическая плотность.

Коэффициент κ определяется суммой коэффициентов поглощения и рассеивания. В области прозрачности стекол (0,4-0,9мкм) коэффициент поглощения порядка 10^{-4} - 10^{-5} см⁻¹. Основное же ослабление обусловлено рассеиванием излучения вдоль световода, вызванное неравномерным микрорельефом его поверхности, ее загрязнением, наличием дефектов структуры сердечника и покрытия. Эта составляющая коэффициента ослабления сильно зависит от диаметра и кривизны изгиба световода, материала и толщины покрытия и может изменяться в широких пределах (несколько порядков). Учет

Таблица I

Некоторые характеристики неорганических стекол для оптических волоконных элементов

№/п	Марки стекол	Коэффициент преломления	Температура размягчения			КПД KTP X10 ⁻⁷	Пропуска- ние сле- говолока на 1 ми- лини,	
			сердцев.	оболоч.	сердцев.			
1.	Б-25	К-17	1,61	1,51	640°	590°	79	76
2.	ГФ-5	БД-1	1,75	1,51	470°	570°	82	90
3.	ТР-16	Л-6	1,61	1,47	690°	490°	72	83
4.	БК-10	ЛК-6	1,57	1,47	650°	490°	74	83
5.	Д-23	Л-6	1,62	1,47	570°	490°	82,4	83
6.	Л-21-1	Л-6	1,50	1,47	610°	490°	91,5	83

влияния на коэффициент рассеивания перечисленных выше факторов практически невозможен, что определяет κ как эмпирический параметр, табл. I. При этом в пределах точности 10–20% можно принять $\kappa \ell_0 \approx \kappa \ell$, где ℓ – фактическая длина световода.

Соотношения (5) и (6) не учитывают потери излучения, обусловленные френелевским отражением излучения от входной и выходной поверхностей световода. Они пропорциональны

$$\left(\frac{n_1 - n_n}{n_1 + n_n} \right)^2$$

и зависят еще от формы волокна (цилиндрическое, коническое и пр.) и угла падения световых лучей [1]. Для стекол, приведенных в табл. I, френелевские потери составляют для $\theta \leq 30^\circ + 40^\circ$ 20%. Нижняя цифра соответствует малым $(n_1 - n_n)$ и θ . Эти потери могут быть уменьшены, если на световоде применяется просветляющее покрытие с коэффициентом преломления

$$n_3 \approx (n_{1,2} n_n)^{1/2}. \quad (6)$$

При этом френелевские потери снижаются в

$$\frac{[(n_1 - n_n)(n_1 + n_3)(n_n + n_3)]^2}{(n_1 + n_n)^2 \{ [(n_1 - n_3)(n_n + n_3)]^2 + [(n_3 - n_n)(n_1 + n_3)]^2 \}}$$

раз.

В функциональных электронных цепях, в которых используются световоды, френелевские потери составляют основную долю потерь, и их снижение определяет эффективность оптической связи.

При малых диаметрах световодов, когда

$$D < 2\lambda \quad \text{или} \quad D \approx \frac{\lambda}{2}, \quad (7)$$

световод проявляет селективные свойства, пропуская преимущественно коротковолновое излучение, ограниченное неравенствами (7). Это позволяет использовать световоды для дисперсии света и выделения спектрального состава информации.

Неравенства (7) сохраняют силу и для минимальной толщины покрытия, при которой еще сохраняется режим полного внутреннего отражения. При толщинах покрытия, сравнимых с длиной волны передаваемого излучения, луч не испытывает полного внутренне-

го отражения и выходит за пределы световода.

Для волокна, диаметр которого превышает рабочую длину волны света в несколько раз, достаточно покрытия толщиной $h \leq 0,5$ мкм. Если принять первое неравенство (7), то минимальный диаметр световода для излучения видимого диапазона или белого спектра $D \geq 2-3$ мкм.

Как всякая линия, световод вносит в передачу сигнала некоторое запаздывание, пропорциональное его длине ℓ . На длине 1 см запаздывание составляет для световодов из неорганического стекла по порядку величины $10^{-9}-10^{-10}$ сек, что лежит у границы быстродействия современных высокочастотных переключающих элементов [2].

В зависимости от состава применяемого стекла его проводимость может изменяться в пределах нескольких порядков ($10^{14}-10^6$ ом·см). Это позволяет использовать световоды не только для передачи излучения и гальванической изоляции, но также для передачи электрических сигналов в слаботочных цепях. В тех случаях, когда гальваническая связь должна быть низкоомной, поверхность световода может быть металлизирована. Такой световод осуществляет как оптический, так и электрический контакты, что расширяет области применения волоконной оптики в функциональных электронных цепях.

Форма сечения световода может быть принципиально любой: круглой, овальной, квадратной, полой и пр. В последнем случае световод может быть использован также для передачи гидропонных сигналов.

На основе элементарных световодов могут быть созданы световолоконные системы, к которым относятся световолоконные жгуты для передачи света и изображения, плоские и объемные фоконы, волоконные панцири и призмы, преобразователи координат, различные развертывающие, размножающие устройства, что составляет арсенал технических средств волоконной оптики.

Используя перечисленные свойства световодов, волоконная оптика решает многие задачи геометрического и пространственно-го преобразования сигналов, что находит широкое применение в оптоэлектронике.

Таблица 2

Сравнительные характеристики гальванической и оптической связи в функциональных электронных цепях

№ п	Фактор	Характеристика связи	
		гальванической	оптической
1.	Носитель информации	свободные заряды	электрически нейтральные фотоны
2.	Управляющая среда	электрические, магнитные поля	электрические и магнитные поля, оптические управляющие среды
3.	Шкала электромагнитных колебаний	одномерные волны $10^8 + 10^9$ Гц	двумерные волны $10^{13} + 10^{15}$ Гц
4.	Направленность	0	I
5.	Взаимодействие в канале связи	сильное, кулоновское	отсутствует
6.	Развязка	плохая, ограниченная взаимодействием электрических и магнитных полей	идеальная
7.	Помехозащищенность	низкая	высокая
8.	Канализация информации	через токоведущие проводники (резистивные, ёмкостные индуктивные цепи)	через любые оптические среды: вакуум, воздух, световоды (безиндуктивные, безъёмкостные цепи)
9.	Соединения	жесткий электрический контакт	оптический контакт возможен без механической жесткой связи
10.	Многоканальность	ограниченная	большая
11.	Избирательность	ограничена добротностью контуров	ограничена шириной спектральных линий ($10^{-7} + 10^{-8}$ см).
12.	Широкополосность	$0 + 10^9$ Гц	$0 + 10^{10}$ Гц
13.	Отношение сигнала к шуму	ограничено джонсоновским шумом канала связи	ограничено флюктуациями светового потока
14.	Способность к перегрузкам	ограничена мощностью рассеивания проводников	не ограничена

15.	Мощность рассеивания в канале связи	ограничена конечным сопротивлением гальванической межэлементной связи	практически отсутствует для оптически прозрачных сред
16.	Структурная надежность	средняя, нарушение топологических связей, выход из строя узлов и блоков схемы	высокая, ограниченная выходом из строя элементов без нарушения топологии схемы
17.	Схемотехническая гибкость	средняя, ограничена жесткими гальваническими и магнитными связями	высокая, обусловленная гибкими оптическими связями
18.	Функциональная ограниченность	существенная, ограничена транзисторной, диодной и пр. логиками, положенными в основы схемного решения	несущественна, ограничена лишь принципом фотоэлектрического преобразования
19.	Степень микроминиатюризации	высокая	высокая

По определению, оптоэлектроника представляет собой новый класс функциональных электронных цепей, в тракте передачи сигнала которых имеется оптическое звено. В цепях оптоэлектроники реализуется один из принципов преобразования: а) электрический сигнал – оптический сигнал – электрический сигнал; б) оптический сигнал – электрический сигнал – оптический сигнал.

Первый принцип лежит в основе оптоэлектронных преобразователей электрических сигналов – аналогов усилительных, генераторных, триггерных и прочих цепей, второй – в основе твердотельных преобразователей, усилителей излучения и изображения, для которых не всегда могут быть найдены непосредственные аналоги электролучевой электровакуумной техники среди ЭОПов, видиков, кинескопов, потенциалоскопов и пр.

Все зависимости от реализуемого принципа преобразования, характерным признаком цепей оптоэлектроники является наличие канала оптической связи, осуществляющего через посредство той или другой оптической среды. С его характеристиками в значительной мере связана возможность реализации в оптоэлектронике основных преимуществ оптической связи, табл. 2 [3].

Структурными элементами цепей оптоэлектроники являются элементарные оптрыны [3], с которых целесообразно начать их характеристики возможностей волоконной оптики в простейших функциональных цепях.

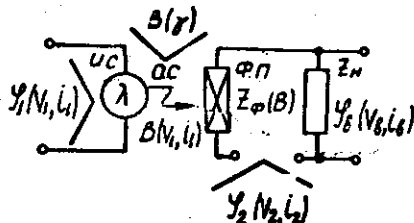


Рис. 2. Функциональная схема оптрана с прямой оптической связью

Основным уравнением оптрана (рис.2) является

$$\varphi_2(V_1, i_1) = C(k_\lambda, k_\phi) B(\gamma) \varphi_1(V_1, i_1) \varphi_2(V_2, i_2), \quad (8)$$

где k_λ , k_ϕ - коэффициенты передачи источника света и фотоприемника, соответственно; γ - фактор управления по оптической среде.

Можно показать в соответствии с (8), что при определенных значениях и видах функций $B(\gamma)$, $\varphi_1(V_1, i_1)$, $\varphi_2(V_2, i_2)$ в оптране по схеме рис. 2 возможно выполнение операций согласования, переключения, усиления, суммирования, умножения, дифференцирования, интегрирования и пр. Это определяет рассматриваемый оптран как универсальный элемент электрической цепи.

При заданной функциональной схеме оптрана, его коэффициент передачи и выходная мощность при прочих равных условиях определяются функцией $B(\gamma)$, являющейся характеристикой оптической среды.

Минимальные габариты и мощность управления, высокие надежность, срок службы и быстродействие оптрана реализуются при использовании в нем светодиодов GaP , $GaAs$, SiC и др., которые являются точечными источниками света. Выходная мощность оптрана ограничена размерами фотоприемников в пределах углов диаграммы направленности источника света. Согласование фотоприемников различной площади с точечным источником света при минимальных размерах оптрана возможно посредством фокуса, как

На рис. 2 приведена функциональная схема оптрана, структура которого определяется оптранной парой, состоящей из управляемого источника света (λ) и фотоприемника (Ф.П.), связь между которыми осуществляется через оптическую среду (О.С.).

показано на рис. 3. При этом удается согласовать точечный источник света с фотоприемниками по ширине их мощности в пределах допустимых размеров оптранов. Это особенно существенно для аналоговых и ключевых оптранов, выполненных на фоторезисторах и фототранзисторах [3]. Такой фокус может выполнять (одновременно) функции размножителя оптических каналов, рис. 3,б. В сложных схемах преобразователей УПТ [4], многоканальных коммутаторах с большим числом секций такое решение исключает ненадежные фазовые сдвиги, дает компактное решение схемы управления источником света в оптроне и высокую степень упаковки коммутирующих фотоприемников, ограничивая в пределе разрешающей способностью волновой оптики (10–40 лин/мм). В обоих случаях минимальная длина фокуса $\ell_{min} = f \left(\frac{D_1}{D_2} \right)$ и ограничивается неравенством

$$\ell_{min} \geq \frac{D_2 - D_1}{2 \operatorname{tg} \alpha} = \frac{D_1}{2 \operatorname{tg} \alpha} \left(\frac{D_2}{D_1} - 1 \right), \quad (9)$$

где α – угол, определяющий конусность фокуса,

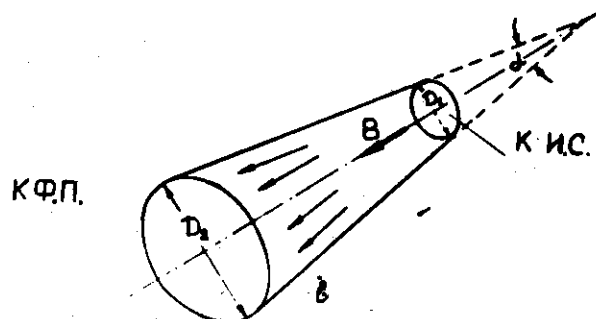
$$\operatorname{tg} \alpha = \frac{D_2 - D_1}{2 \ell}$$

Длина фокуса ℓ для $\frac{D_2}{D_1} \gg 1$, когда его применение целесообразно, по условию максимального коэффициента передачи не может быть сделана меньше 4–5 мк. При этом проходная емкость оптрана снижается до $10^{-4} + 10^{-5}$ мФ, а сопротивление "уголка" вход–выход возрастает до 10^{18} ом, что существенно для развязывания импульсных цепей. Если в оптране по отношению к фокусу поменять местами фотоприемник и источник света, рис. 3,в., то такой оптран с практически точечным фотоприемником будет осуществлять операции сложения. В пределах линейного участка характеристики фотоприемника будет:

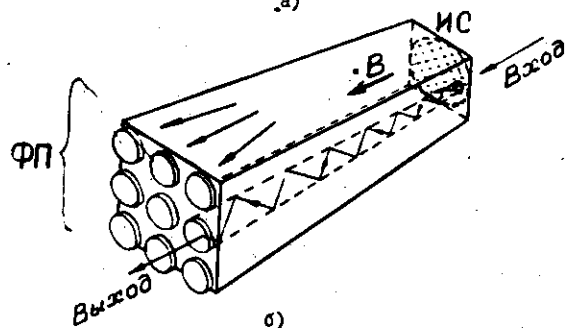
$$i_\phi = \sum_{i=1}^{i=n} B_i, \quad$$

где B_i – яркость излучения i -го источника света, на котором осуществляется i -й электрический вход оптрана; i_ϕ – фототок в цепи фотоприемника.

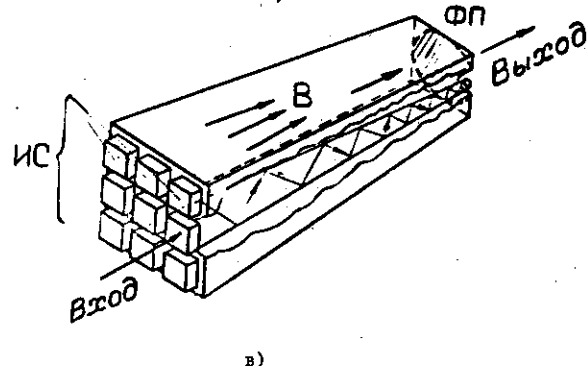
Применение стекловооконной связи в оптранах позволяет использовать их для измерения ускорений и вибраций. Принцип иллюстрируется рис. 4.



а)



б)



в)

Рис. 3. Применение фоконов в оптронах; а) - согласование габаритов источников света (ИС) и фотоприемника (ФП); б) - разложение каналов; в) - суммирование сигналов.

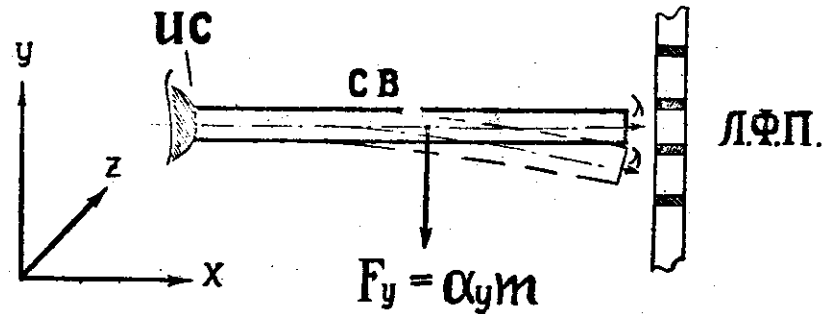


Рис. 4. Оптоэлектронный принцип измерения ускорений: СВ – световолокно; ИС – источник света; ЛФП – линейка фотоприемников с дискретным выходом.

Стекловолоконный стержень (СВ) соответствующего диаметра и длины представляет собой в таком оптроне закрепленную на источнике света консоль, свободный конец которой может перемещаться вдоль линейки фотоприемников (ЛФП). При заданной массе стекловолоконного стержня m в пределах малых отклонений перемещение его свободного конца Δy будет пропорциональным ускорению α_y . Минимальный шаг линейки фотоприемников сегодня ограничен $10 + 40$ мкм в случае фотодиодов. Это ограничивает чувствительность оптрона. Однако предварительный расчет и эксперименты показывают, что, используя таким способом различные диаметры стержней стекловолокон и наполнение оптрона демпфирующей средой, можно измерять ускорения от $10^{-2} g$ до $10^2 g$. Эти пределы нестроги и, по всей вероятности, могут быть раздвинуты в ту или другую сторону. Подобный же принцип может быть использован для создания оптоэлектронных резонансных фильтров высокой добротности, рис. 5, представляющих собой оптоэлектронный аналог известных камертонных фильтров, для которых связь резонансной частоты с длиной стержня и его удельной массой m/l определяется зависимостью

$$\omega \sim \frac{1}{\ell^2 m^{1/2}}$$

Преимущества таких систем обусловлены их малыми габаритами, вы-

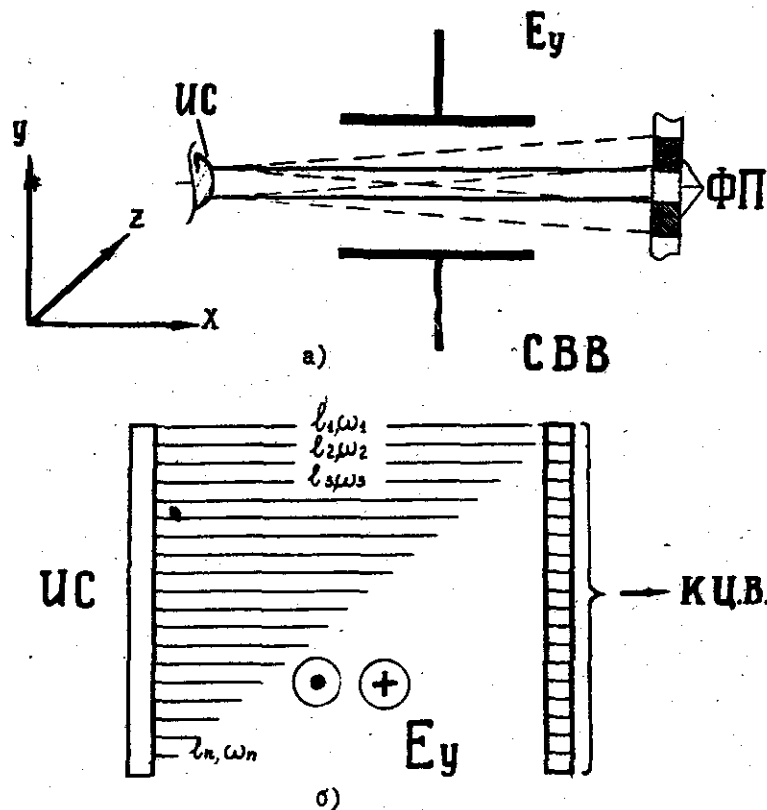


Рис. 5. Использование стекловолоконной связи в оптроне для получения характеристик резонансного фильтра: а) - принцип действия стекловолоконного избиратора; б) - принципиальное устройство фильтра; ИС - источник света; СВВ - стекловолоконный избиратор; ФП - фотодиод с дискретным выходом; E_y - управляемое коле; ЦВ - цифровой вход.

ской чувствительностью и добротностью, простотой преобразования механических колебаний в электрические сигналы.

Применение световодов в функциональной оптоэлектронике позволяет сравнительно просто осуществлять преобразование системы координат жесткой топологической структуры каналов оптической связи: инверсия, поворот на заданный угол, брашинг, развертывание (свертывание) системы и пр. Простейшими элементами такого типа являются многожильные световоды в виде восьмерок, плоские фоконы, (рис. 6), позволяющие преобразовывать строчку в

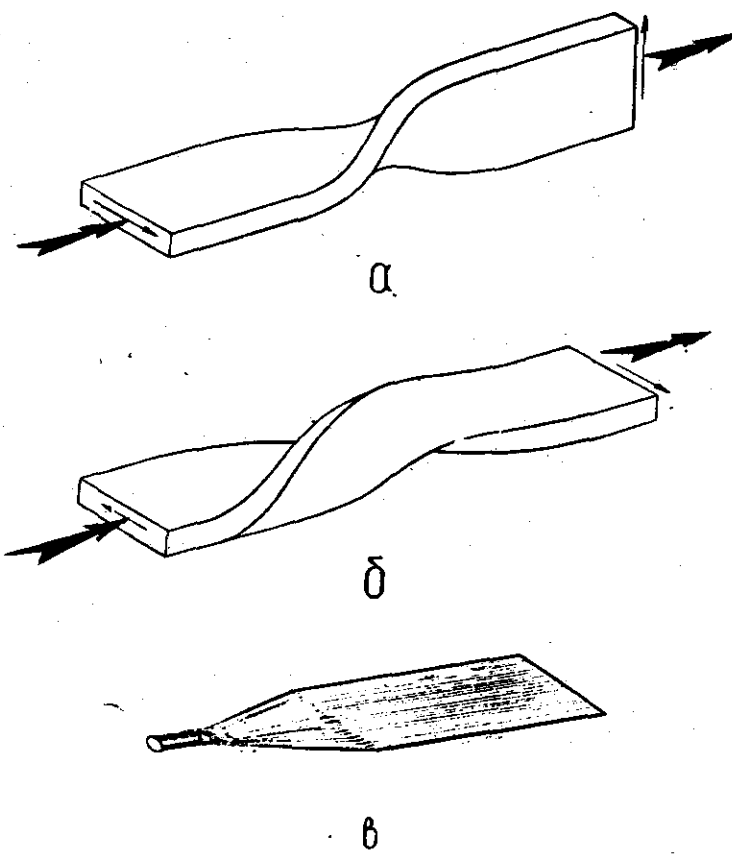


Рис. 6. Поворотные и развертывающие стекловолоконные элементы: а - полувосьмерка; б - восьмерка; в - плоский фокон.

столбец, горизонтальную строку в наклонную, инвертировать строку, разворачивать точку в строку и наоборот. Сочетая такие световоды с их механическим вращением или сканирующими источниками света, можно при точечном источнике света получить сканирующий световой поток заданной длины, изменять порядок считывания и пр. Кроме функциональных оптоэлектронных схем, такие световоды могут найти себе применение в устройствах считывания информации с трубок и электролюминесцентных экранов, следящих устройствах, системах распознавания образов и пр.

Другая проблема в функциональной оптоэлектронике связана с созданием оптоэлектронных систем с разветвленными оптическими связями. В качестве примера на рис. 7 приведена схема оптоэлектронного кольцевого счетчика. Стрелками обозначены каналы

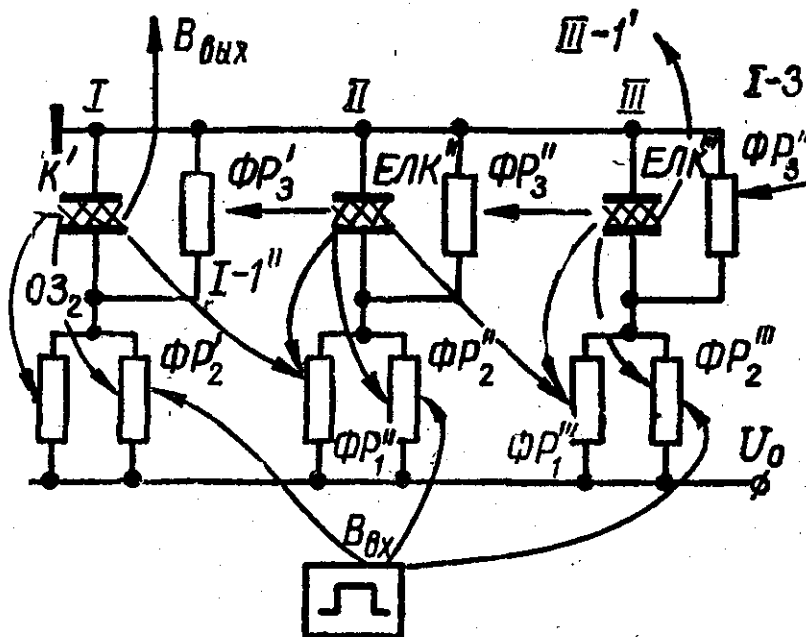


Рис. 7. Принципиальная схема узла оптоэлектронного кольцевого счетчика: ЭЛК - электролюминесцентный конденсатор; ФР - фотодиод; стрелками показана оптическая связь.

оптической связи. Для создания таких схем требуется разработка топологии оптических цепей на базе волоконной оптики.

Арсенал технических средств волоконной оптики уже сегодня позволяет решить многие задачи сложных многоканальных связей. Наиболее типичные случаи многоканальных связей сводятся к функциям разветвления и сбирания (суммирования) от одного источника ко многим пространственно разделенным фотоприемникам или, наоборот, от многих пространственно разделенных источников (или их групп) к одному фотоприемнику, на котором происходит суммирование сигналов. Такие связи выполняются посредством гибких световодов (клутов), образующих стекловолоконные деревья, кисти и пр. (рис. 8). В зависимости от назначения отростка он может на одном из концов заканчиваться жестким стержнем, планшайбой или фокусом. Характерной особенностью таких оптических ветвей является их высокая степень многоканальности по входу или выходу, достигаемая 10^2 входов на мм. Это позволяет использовать волоконные деревья в различных оптоэлектронных матрицах типа рецепторных структур в качестве "входных рецепторов", что значительно снижает требования по разрешению к матрице фотоприемников (на два-три порядка). Тем самым существенно упрощается ее конструкция.

В качестве примера на рис. 9 приведена топологическая схема (фрагмент) оптоэлектронной модели глаза лягушки, в которой оптический вход осуществлен не на матрицу фотоприемников, разрешение которой существенно ограничено физико-технологическими особенностями, а на оптоэлектронную планшайбу со свободными гибкими выводами (кисти), объединяющими группы волокон. Для волокон диаметром 20-40 мкм разрешение планшайбы составляет 50-25 линий на мм, что на порядок выше разрешения фотодиодических матриц на фотодиодах.

Ветви осуществляют распределение светового рельефа на планшайбе по матрице фотоприемников в соответствии с заданной функцией его преобразования. Таким образом, за фотоприемниками остаются лишь функции фотодиодического преобразования, типичного для всех целей оптоэлектроники. Преобразуя электрический сигнал на выходе фотоприемника в световой, структуру можно повторить в соответствии с моделью глаза в целом.

Нетрудно видеть, что волоконная оптика в рассматриваемом

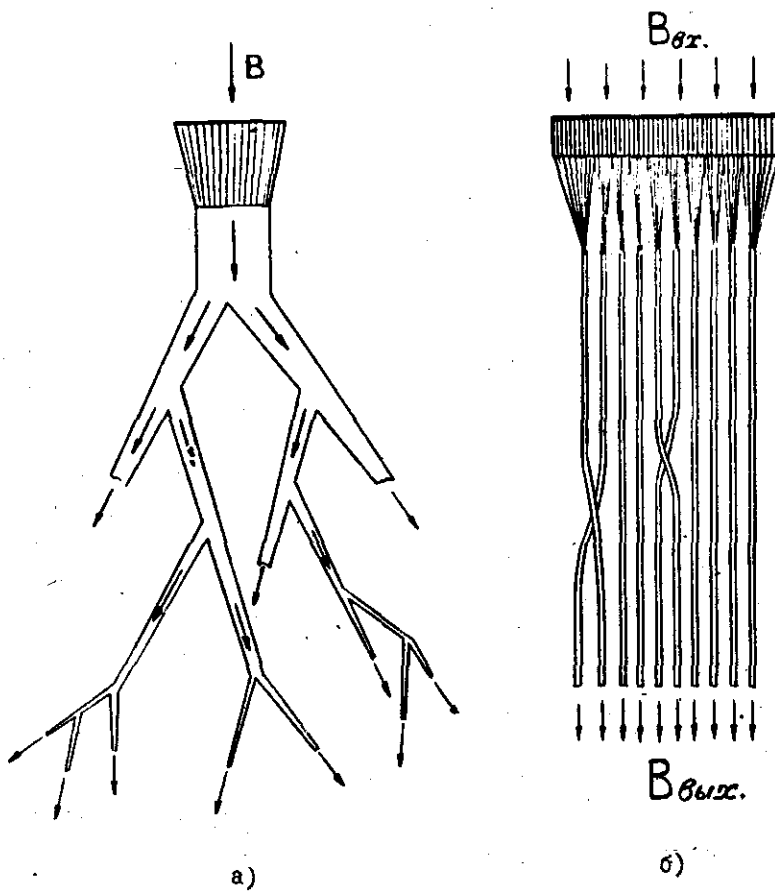


Рис. 8. Стекловолоконные системы: а) – волоконное дерево; б) – волоконная кисть.

случае дает огромные преимущества технологического и схемотехнического аспектов задачи по сравнению с электронными моделями, что вносит принципиально новое качество в ее решение.

Разветвленные многоканальные оптические связи в цепях функциональной оптоэлектроники можно осуществить также с использованием пленочных световодов. С применением пленочной волокон-

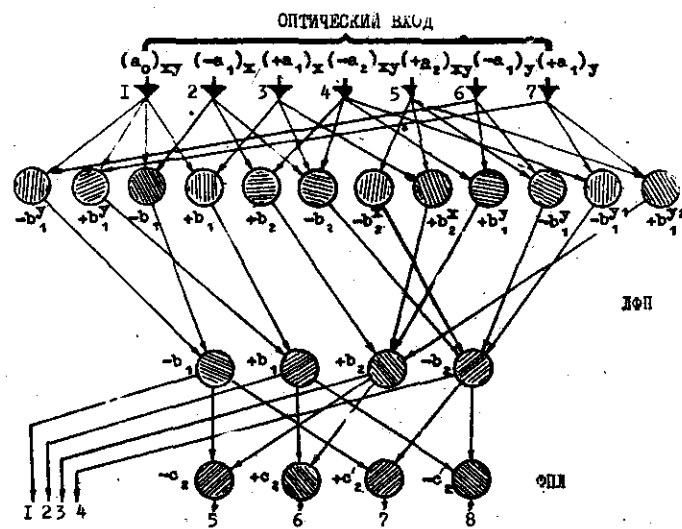
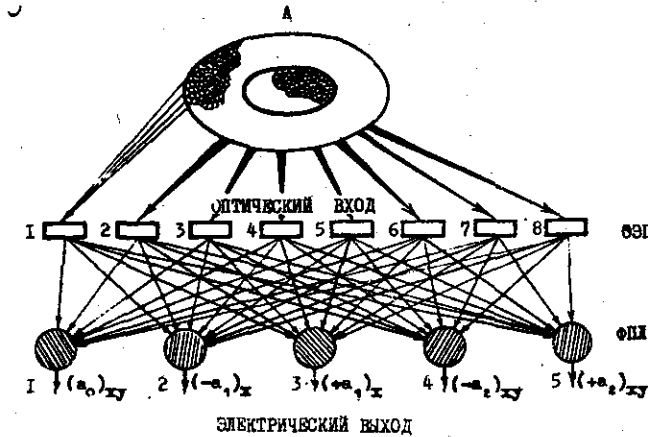


Рис. 9. Фрагмент оптоэлектронного аналога глаза ягушек: А – входная ячейка; ОЭП – оптоэлектронный преобразователь; оптический сигнал – электрический сигнал – оптический сигнал; ФПИ – фотоприемник логарифмический; ЛФП – линейный фотопреобразователь.

ной оптики появляется возможность выполнять оптоэлектронные схемы в виде интегральных тонкопленочных систем, в том числе и многослойных. Последнее является прямым следствием особенностей оптической связи, каналы которых не взаимодействуют между собой и служат элементами гальванической развязки между электронными узлами схемы.

Технологически эта задача проще всего решается применением органического волокна, которое допускает напыление и вливание световедущих пленок заданных конфигурации и толщины. Упоминается и вопрос осуществления оптических контактов органического стекловолокна с источником света и фотоприемником.

Однако органическое волокно имеет ряд недостатков, ограничивающих их применение в цепях оптоэлектроники. Наиболее существенными из них являются узкий диапазон рабочих температур и сильное старение под действием ионизирующей радиации и света. Эти свойства особенно сильно проявляются в тонких пленках.

У световодов из неорганического стекла этих недостатков нет. Однако работы по пленочным световодам на их основе фактически не ведутся. В [5] было сообщено о попытке изготовить пленочный световод на основе MgO . Такой световод, рис. 10,

представляет собой тонкопленочную структуру, получаемую осаждением необходимых компонент из молекулярного пучка в вакууме. Световодом служит пленка MgO толщиной 1-4 мкм, покрытая такой же тонкой пленкой SiO_2 (отражающее покрытие). Основанием служит стеклянная подложка, покрытая непрозрачной пленкой алюминия для предотвращения попадания через стекло в световод света. Последняя деталь не является принципиальной. Вместо стекла с равным успехом могут быть использованы непрозрачные силики и

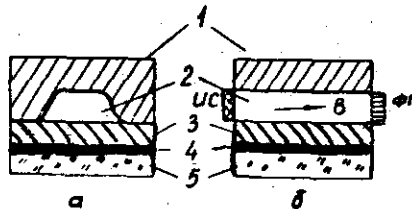


Рис. 10. Принципиальное устройство тонкопленочного световода: а) - вид с торца; б) - вид сбоку; 1,3 - пленки SiO_2 ; 2 - пленки MgO ; 4 - алюминиевый экран; 5 - стеклянная подложка.

попадания через стекло в световод света. Последний факт не является принципиальной. Вместо стекла с равным успехом могут быть использованы непрозрачные силики и

радиокерамика, что исключает применение специальных оптических акранов. По данным Дойджа и Фернса [5], применение такого пленочного световода повышает эффективность оптической связи оптоэлектронной пары в 10^2 раз.

Другим примером многоканальных схем являются матричные системы, позволяющие осуществлять компактную упаковку большого числа однотипных элементов. В оптоэлектронике простейшими функциональными элементами являются оптраны, различная комбинация которых позволяет собирать схемы с заданной функцией преобразования [3]. Оптран с прямой оптической связью был рассмотрен выше. На рис. II, а приведена другая разновидность оптрана - оптран с электрооптической связью. Его основной режим работы

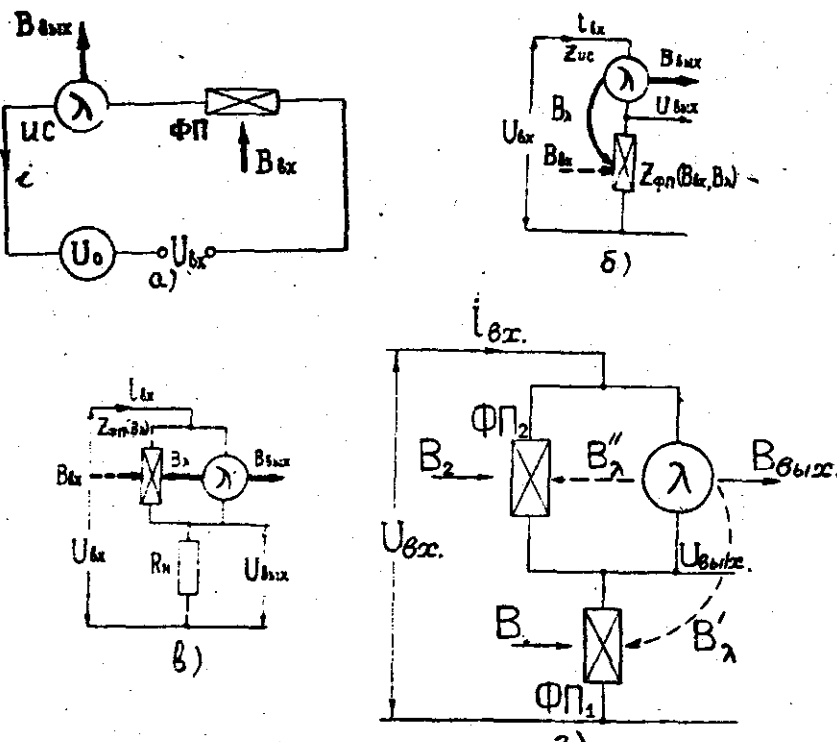


Рис. II. Оптраны с электрооптической связью: а) - с внешней; б) - обратной положительной; в) - обратной отрицательной; г) - обратной комбинированной оптической связью.

состоит в усилении и преобразовании излучения. Он является основным структурным элементом оптоэлектронных усилителей и преобразователей излучения [6]. В оптроне по схеме рис. II, а может быть введена как положительная (рис. II, б), так и отрицательная (рис. II, в) обратные оптические связи. Если глубина положительной обратной связи такова, что

$$\beta \cdot K_B > 1,$$

где

$$K_B = \frac{B_{\text{бых}}}{B_{\text{бх}}} \frac{B_\phi}{B_{\text{бх}}}$$

— коэффициент усиления оптрона в режиме усиления света;

$$B_\phi = B_{\text{бых}} \quad \text{при} \quad B_{\text{бх}} = 0;$$

то в вольт-амперной характеристике оптрона появляется участок отрицательного сопротивления, что превращает оптрон в быстрый элемент, адекватный элементу памяти [7]. Если кроме внешней и положительной обратных связей в оптроне осуществлена отрицательная обратная связь (рис. II, г), то характеристические признаки такого оптрона адекватны характеристическим признакам нейрона [8]. При этом каналу прямой оптической связи на ФП₁ отвечает подача возбуждающих импульсов, а каналу прямой оптической связи на ФП₂ — запрещающих. Внутренние же оптические связи в оптроне обусловливают его характеристики как элемента электрической цепи.

Эффективность применения рассмотренных выше оптронов (матрицы, матрицы памяти, усилители изображения и пр.) возрастает со степенью их интеграции, что требует увеличения числа однотипных элементов и повышения степени их микроминиатюризации. При этом значительно возрастает степень сложности выполнения такой системы по сравнению с простым решением элементарного, единичного оптрона. В каждом оптроне, кроме внешних оптических и электрических связей, должны быть выполнены обратные оптические и прямые электрические связи при сохранении их автономности.

При создании оптоэлектронных матричных систем волоконная оптика дает пока единственное приемлемое решение, которое заключается в применении волоконных планшайб в качестве подложки, с противоположных сторон которых формируются источники света и фотоприемники.

Волоконные планшайбы представляют собой стекловолоконные жгуты большого сечения и малой длины с упорядоченным расположением волокон в общей стеклянной основе (рис. I2); каждое волокно, диаметр которого лежит в пределах от единиц до нескольких десятков и сотен мкм, представляет собой автономный короткий световод, обеспечивающий разрешение оптической связи на планшайбе 10–100 элементов связи на мм. Если световоду соответствует канал положительной обратной связи, то он будет в значительной мере ограничиваться дисторсией системы даже в случае выполнения источников света и фотоприемников в виде сплошных пленок. Если линейные размеры источников света и фотоприемников порядка 50 мкм (что не является пределом), то на планшайбе 10 × 10 мм² с диаметром волокон того же порядка можно разместить около 40000 элементов памяти или ключей. Конструкция оптоэлектронной матрицы еще более упрощается, если планшайбы, кроме отражающего покрытия, будут иметь также проводящий внешний слой (рис. II), металлическое проводящее стекло, что позволяет использовать стекловолокно не только для оптической, но и для гальванической связи, которые при этом остаются внутренними и формируются в одном технологическом цикле с нанесением источников света и фотоприемников оптронов.

С точки зрения функциональной оптоэлектроники применение планшайб, обеспечивающих оптическую и гальваническую связи на каждое волокно, представляется особенно перспективным в тонкопленочных матричных структурах с оптическим входом и выходом. Известные пленочные фотоприемники и электронномиофоры (материалы АВУ¹), получаемые осаждением из молекулярного пучка в вакууме, активируются при сравнительно высокой температуре (500–700°C) [9]. Это требует от планшайб жаропрочности и почти вакуумной упаковки волокон в них.

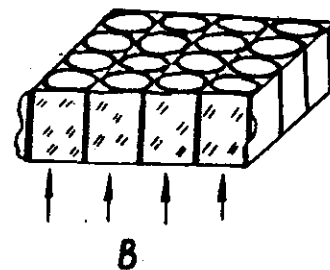


Рис. I2. Принципиальное устройство стекловолоконной планшайбы.

Б

С

В практике разработки волоконных паншайб эти проблемы не получили пока должного решения и встречают ряд существенных технологических трудностей. Однако перспективность таких разработок совместно с разработкой на паншайбах различных опто - электронных устройств и систем очевидна.

Настоящий доклад не претендует на исчерпывающее изложение всех вопросов применения волоконной оптики в функциональных электронных цепях. Он касается лишь общих аспектов задачи в целом, которые мы по возможности стремились проиллюстрировать некоторыми характерными примерами, которыми, естественно, не исчерпываются возможности волоконной оптики и в оптоэлектронике. Они значительно многообразнее и шире.

Проблемы применения волоконной оптики в функциональных электронных цепях еще требуют своей разработки. Однако уже сегодня очевидно, что в ряде случаев волоконная оптика позволяет найти эффективное решение многим сложным задачам функциональной схемотехники, характерным примером которых служит оптоэлектроника.

Л и т е р а т у р а

1. ЛИСИЦА М., БЕРЕЖИНСКИЙ Л., ВАЛАХ М. Волоконная оптика . Киев, "Техника", 1968.
2. NOVOTNY G.V. Fiber Optics for Electronics Engineers, Optoelectronic Devices and Circuits, Mc Crawhill Book Co., 1964, N 4.
3. СВЕЧНИКОВ С.В. Оптоэлектроника (на укр.яз.), Киев, "Техника", 1968.
4. БРЕЙ Т.Е. Переключение с помошью света , "Электроника", (рус.пер.), 1965, № 22.
5. ДОЙДЖ Дж., ФРЕНЧ В. Осуществление связи оптоэлектронных приборов с помощью тонкопленочной передающей линии,"ТИИЭР", (рус.пер.), 1966, т. 54, № 7.
6. СВЕЧНИКОВ С.В. Фотоэлектрические функциональные преобразователи как перспективное направление полупроводниковой электроники. - "Полупроводниковая техника и микроэлектроника", Киев, "Наукова думка", 1966.
7. АДИРОВИЧ Э.И. Оптоэлектроника. - "Микроэлектроника" , "Сов.радио", 1967, вып. I.
8. ГУТЧИН И.Б. Формальные нейтроны , "Знание", 1967.
9. БЫОР Р. Фотопроводимость твердых тел, М., И.Л., 1962.